

京都大学防災研究所(正)清水正喜

要旨: 大阪洪積粘土を対象として、ひずみ軟化挙動を示す材料の弾塑性的性質について実験的に検討した。用いた試料では、降伏曲面は等方的・拡大・縮小することを示し、硬・軟化パラメータとして塑性仕事率を選び、実験に基づく硬・軟化法則の定式化と、その用い方についても併せて解析を試みた。

1. 実験的考察 (1) 試料・実験方法 試料は大阪府高田林市に於て採取した乱れのない洪積粘土で大阪泥群に属する(層準不明)。実験は、等方圧密・非排水、軸ひずみ速度一定(1.7×10^{-2} %/min ～ 4.8×10^{-2} %/min)の三軸圧縮試験である。間隙水圧は後試体底面中央部で測定し、圧密中の排水は半径方向に行なう。後試体上端からピエゾレットへ接続させて。(2) 結果 図1に代表的ひずみ軟化力($\sigma = (\sigma_a - \sigma_r)$)と軸ひずみ(ϵ_a)との関係を示す。

せん断初期においては σ ～ ϵ_a 関係は直線的であり σ の増加と共に直線からはずむ(図1a □実)，ピーコ点到達後、応力は急激に低下していき。

ひずみが約2%で応力が低下すれば残留状態に到る。また、ピーコ前と後とで除荷・再載荷を繰り返して実験すれば、

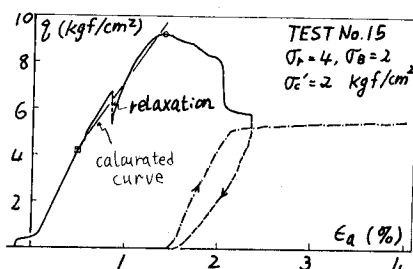
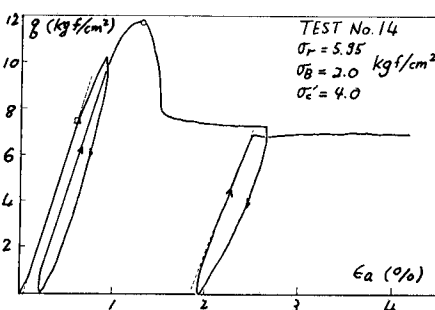
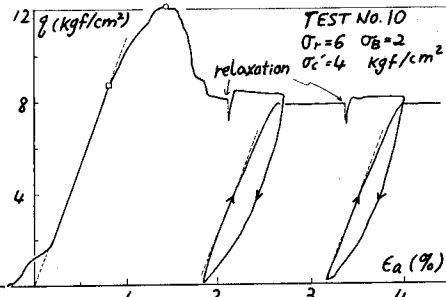
ピーコの前か後か拘らず再載荷時の σ ～ ϵ_a 関係は、初期の σ ～ ϵ_a 関係と同じ勾配をもつ直線で表わすことができる。再載荷過程では除荷開始応力に戻ること、恰も除荷の履歴が無く、逆ように除荷直後の関係線上に再び乗っていき。図2に有効応力経路を示す。有効応力経路は、かなり急勾配で立ち上っていく。先の σ ～ ϵ_a 関係と同様、経路変曲点(図2の△実)が存在していき、そこまで σ と ϵ_a の関係は $d\sigma/d\epsilon_a = 0$ で近似できる。(3) 弾塑性的性質

図1の□、図2の△をそれぞれせん断ひずみに着目して、体積ひずみに着目し、初期降伏挙と見える。図2から明らかのように、間隙水圧(体積ひずみ)特性より求めた実測せん断ひずみ特性から求めた実測は一致していない。二つの傾向は互が入るほど大であるようだ。さて、二つとも種類の初期降伏挙と応力比最大の実(破壊挙)の応力软化と $\sigma/\rho \sim \log P$ 関係で整理すると図3が得られる。各软化は、圧密应力の相違に拘らず一本の直線：

$\sigma/\rho + M \ln P - K = 0$ …① で表わすことができる(これがKらの式)。しかし3種の状態を区別するにはKだけではあるまい。

Mの定義になってくる。以上のことから、本試料は、①式で表現できる降伏曲面とモル等方硬化材料であるといふ。以下、議論においては、軟化域についても等方軟化を仮定する。

2. ひずみ軟化挙動、塑性論的考察 (1) Normality(直立性) ひずみ軟化を示す材料は、Druckerの安定性(Stability)の観察に反する不安定材料(Unstable)といわれる。Palmerらは、不安定材料に対して、ある条件下で Normality と Convexity が成立するとしていた。(2) 軟化材料の応力-ひずみ関係について等方硬・軟化材料の応力-ひずみ増分関係は、 $d\sigma_{ij}^F = dL \cdot (df/d\sigma_{ij}) \cdot df$ —②、ここで $L = f(\sigma_{ij}) - K = 0$ 、 K は硬・軟化剛度(等方硬化・軟化材料に対しては、唯一の1つ)、例えば W^F (塑性仕事率)の剛度)、 $L = 1/f$

図1. せん断応力 σ ～ひずみ ϵ_a 関係

$(\partial K / \partial W^P) (\partial f / \partial \sigma_{xx} \cdot T_{xx})$, f は降伏関数) Prevost et Hoeg は、ひずみ軟化材料を $\delta < 0$ で $F = 0$, $\delta f < 0$ と定義した。後のとき $\alpha = 1$)。③式と、④式と用いて軸対称三軸圧縮試験に適用した結果。

$$\delta E^P = \frac{2}{3}(\delta \sigma_a - \delta \sigma_r)^P = \{d\delta + (M - \beta/p) \times dP\} / \{p^2 M (\partial K / \partial W^P)\} \cdots ③$$

$$d\sigma^P = dE^P / (M - \beta/p) \text{ となる。}$$

(3) 硬軟化法則 硬化・軟化の具体的な法則と、実験試料から導く。④式は、 $(\partial K / \partial W^P)$ を W^P の関数形として表現できれば、ひずみ端点を計算できることと表わしている。④式を変形して

$$(\partial K / \partial W^P) = \{d\delta + (M - \beta/p)dP\} / (p^2 M^2 \cdot dE^P)$$

より $\partial K / \partial W^P$ を計算できる。図4は、Test No. 15 に上述の方法を適用して求めた $\partial K / \partial W^P \sim W^P$ 関係である。 $(G = 30 / \text{kNf/cm}^2, -de/ d\ln p = 0.0083$ として弾性ひずみを詳細(2.)回復するかぎり) うえ、初期降伏点において $\partial K / \partial W^P$ は有限な正値をとるが、硬化が進むとピーキ応力比に達したときに $\partial K / \partial W^P < 0$ に転じ、以後、軟化の進行中 $\partial K / \partial W^P < 0$ となり、変形が進むと $\partial K / \partial W^P = 0$ 、すなはち降伏曲面の縮み、 W^P が増大しても進行しない、荷重応力が常に割る。また、図4の結果で興味深いのは、 $\partial K / \partial W^P$ は、軟化の過程において W^P の連続関数ではなく、応力低下の最も急な部分で不連続的に変化していることである。このようないずれも不連続性は、Palmer らが、軟化材料の Normality を帰結する際に除外した性質である。

3. あとがき 図4 $K \sim \partial K / \partial W^P \sim W^P$ 関係と関数表現とて、 $\partial K / \partial W^P = A \cdot (B - W^P) / \{1 + (W^P)^2\} - ④$ を与えてある。係数 A , B は、 $AB = (\partial K / \partial W^P) |_{W^P=0}$, $B = W^P |_{\partial K / \partial W^P=0}$ の条件から簡単に決定できる。さて、④式の関係を用いて、Test No. 15 の応力-ひずみ関係、有効応力経路を計算して結果を、先小を小回り、図2に細線で示す。軟化の過程に入ると Prager の弾塑性適合の条件(降伏が引張づく条件)を満足しなくなり、解が収束せず、軟化の表現が成り立たない。今後、弾性定数 α , $\partial K / \partial W^P \sim W^P$ 関係に含むひずみ度数の影響について調べる。

= 謝辞 = 平素御指導を賜つて、京都大学防災研究所柴田徹教授、同是立紀尚助教授に心より謝意を表します。実験結果の解析には、京都大学防災研究所資料センター設置の電子計算機 FACOM-230-60 を利用いたしました。本研究は、昭和54年度文部省科学研究所により一部補助を受けましたことを記し、謝意を表します。

= 参考文献 =

- J.-H. Prevost et K. Hoeg (1995) Soil Mechanics and plasticity analysis of strain softening, Geotech. 25-2, pp.277-291
 A.C. Palmer, G. Maier et D.C. Drucker (1967) Normality Relation and Convexity of ..., J. Appl. Mech., Trans. ASME, pp.464-470

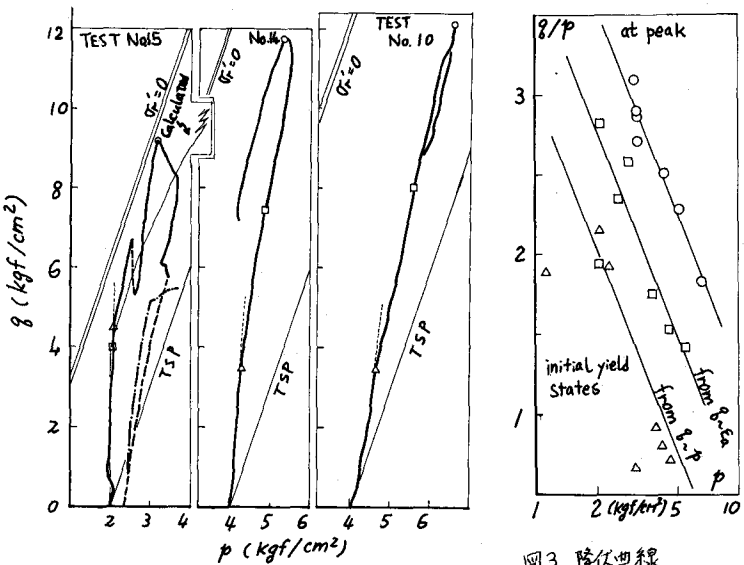


図2 摩擦応力経路と初期降伏点

図3 降伏曲線

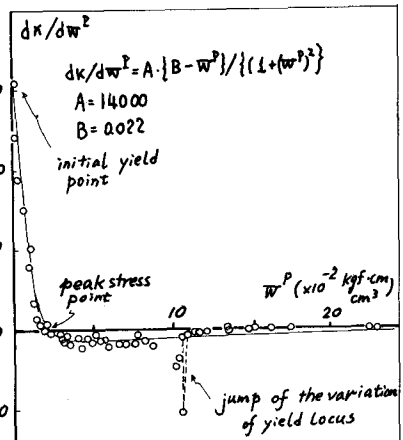


図4 $dK / dW^P \sim W^P$ 関係 (Test No. 15)

3. あとがき 図4 $K \sim \partial K / \partial W^P \sim W^P$ 関係と関数表現とて、 $\partial K / \partial W^P = A \cdot (B - W^P) / \{1 + (W^P)^2\} - ④$ を与えてある。係数 A , B は、 $AB = (\partial K / \partial W^P) |_{W^P=0}$, $B = W^P |_{\partial K / \partial W^P=0}$ の条件から簡単に決定できる。さて、④式の関係を用いて、Test No. 15 の応力-ひずみ関係、有効応力経路を計算して結果を、先小を小回り、図2に細線で示す。軟化の過程に入ると Prager の弾塑性適合の条件(降伏が引張づく条件)を満足しなくなり、解が収束せず、軟化の表現が成り立たない。今後、弾性定数 α , $\partial K / \partial W^P \sim W^P$ 関係に含むひずみ度数の影響について調べる。

= 謝辞 = 平素御指導を賜つて、京都大学防災研究所柴田徹教授、同是立紀尚助教授に心より謝意を表します。実験結果の解析には、京都大学防災研究所資料センター設置の電子計算機 FACOM-230-60 を利用いたしました。本研究は、昭和54年度文部省科学研究所により一部補助を受けましたことを記し、謝意を表します。

= 参考文献 =

- J.-H. Prevost et K. Hoeg (1995) Soil Mechanics and plasticity analysis of strain softening, Geotech. 25-2, pp.277-291
 A.C. Palmer, G. Maier et D.C. Drucker (1967) Normality Relation and Convexity of ..., J. Appl. Mech., Trans. ASME, pp.464-470